

Цифровой информационно-измерительный комплекс на базе высоковольтного оптического измерительного преобразователя NXVCT

С. Н. Рыкованов, В. И. Ухов, А. В. Мандрик,
С. Р. Слабоспицкий, И. О. Ковцова,
ООО «Системы телемеханики»

Традиционные аналоговые измерительные трансформаторы тока и напряжения, основанные на электромагнитных принципах, имеют ряд недостатков, связанных с явлениями насыщения, гистерезиса, резонанса, остаточного намагничивания. Этих недостатков лишены высоковольтные оптические измерительные преобразователи тока и напряжения.

Описание проекта «Цифровая подстанция»

Пилотный проект «Цифровая подстанция» реализован совместными усилиями специалистов ООО «Системы телемеханики» и ФГУП «РФЯЦ-ВНИИТФ им. академика Е.И. Забабахина» в 2011-2013 годах. В рамках этого проекта разработан Цифровой информационно-измерительный комплекс (ЦИИК) в соответствии с требованиями стандарта IEC 61850, включающий интеллектуальные электронные устройства (ИЭУ) уровня присоединения.

В качестве базового элемента полевого уровня в проекте «Цифровая подстанция» (ЦПС) применен высоковольтный оптический измерительный преобразователь тока и напряжения NXVCT-230 [1].

ЦИИК введен в опытную эксплуатацию в феврале 2013 г. и в настоящее время функционирует на ПС 110/10 кВ «Сосновая» в г. Снежинске Челябинской области, обеспечивая решение задач учета электроэнергии, измерения показателей качества электроэнергии, измерения параметров сети, регистрации аварийных событий.

Пуско-наладочные работы ЦИИК на подстанции выполнялись с использованием мобильного поверочного комплекса SysteLLLogic УПН.11, обеспечивающего генерацию потоков тестовых данных согласно протоколу IEC 61850-9-2LE с частотой дискретизации 80 и 256 точек на период.

Поверочный комплекс SysteLLLogic УПН.11 выполнен на базе промышленного компьютера с сенсорным экраном и обеспечивает три режима работы:

- генерация потоков симметричных сигналов тока и напряжения с одинаковой амплитудой по всем фазам;

- генерация потоков индивидуальных сигналов тока и напряжения по каждой фазе;
- воспроизведение потоков сигналов из csv-файла, в котором предварительно записаны мгновенные значения тока и напряжения.

Структурная схема ЦИИК (рис. 1) включает три уровня:

Полевой уровень, представленный высоковольтным оптическим измерительным преобразователем тока и напряжения NXVCT-230.

Уровень присоединения, представленный ИЭУ, обеспечивающими прием данных от преобразователя NXVCT-230 по протоколу IEC 61850-9-2LE: SysteLLLogic PAC.11, SysteLLLogic УИП.12, SysteLLLogic ПКЭ.12.

Станционный уровень, представленный сервером ЦПС, сервером синхронизации времени и Автоматизированным рабочим местом (АРМ).

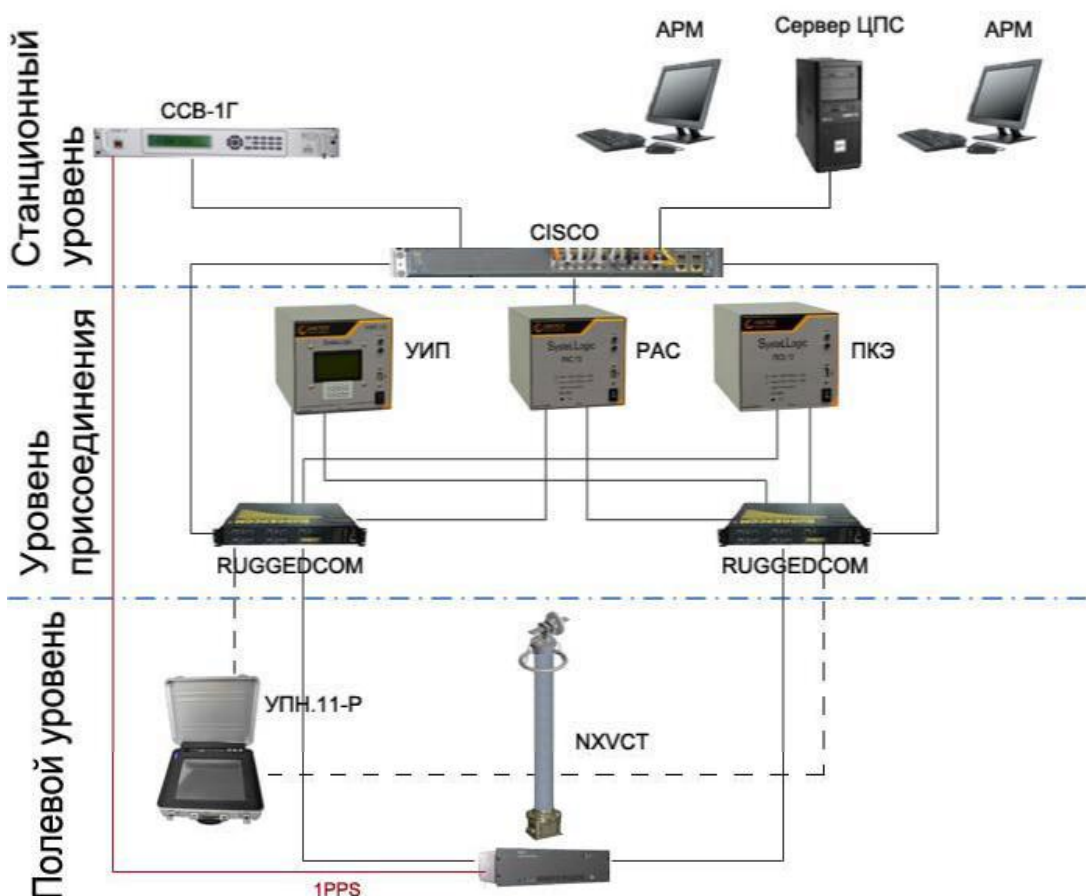


Рис. 1

Физическая реализация станционной шины и шины процесса выполнена на коммутаторах Ethernet.

Для синхронизации времени компонентов ЦИИК используется сервер точного времени ССВ-1Г, обеспечивающий формирование эталонных сигналов 1PPS и поддерживающий протоколы NTP и SNTP.

Преобразователь NXVCT-230 установлен в ОРУ-110 кВ (рис. 2) и используется как первичное средство измерения, альтернативное традиционным трансформаторам тока и напряжения. Вторичное измерительное оборудование и вычислительные средства размещены в шкафах, установленных в помещении ЗРУ 6 кВ (рис. 3).



Рис. 2

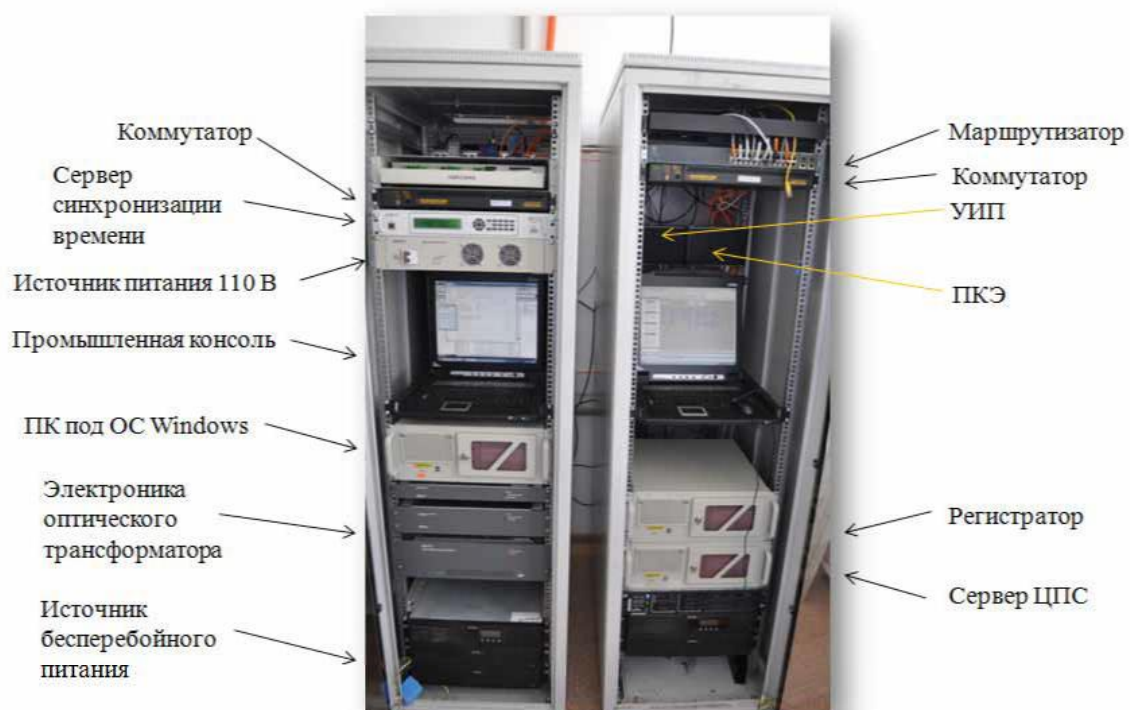


Рис. 3

Преобразователь NXVCT-230 измеряет мгновенные значения тока и напряжения по фазам А, В, С первичной сети и выдает их в виде потоков цифровых сигналов согласно протоколу IEC 61850-9-2LE (с частотой дискретизации 256 точек на период). Дополнительно NXVCT-230 предусматривает выдачу измерений в виде аналоговых сигналов.

В ЦИИК в качестве вторичного измерительного оборудования используются следующие интеллектуальные электронные устройства (ИЭУ), принимающие поток данных от устройства полевого уровня NXVCT-230 и передающие результаты их обработки на станционный уровень по протоколу IEC 61850-8-1 [2]:

1) **SysteLLLogic УИП.12** - для учета электроэнергии и мощности, измерения параметров электрической сети: напряжения, тока, частоты, коэффициента мощности и т.д.

Конфигурация устройства и отображения параметров обеспечивается человеко-машинным интерфейсом (рис. 4), предусматривающим несколько режимов представления данных:

- мультиметр: мгновенные значения измеряемых параметров сети;
- счетчик: суммарная энергия, принятая энергия, отданная энергия нарастающим итогом;
- профили: основные параметры учета электроэнергии на заданном интервале (1мин., 30 мин., на начало суток, на начало месяца).

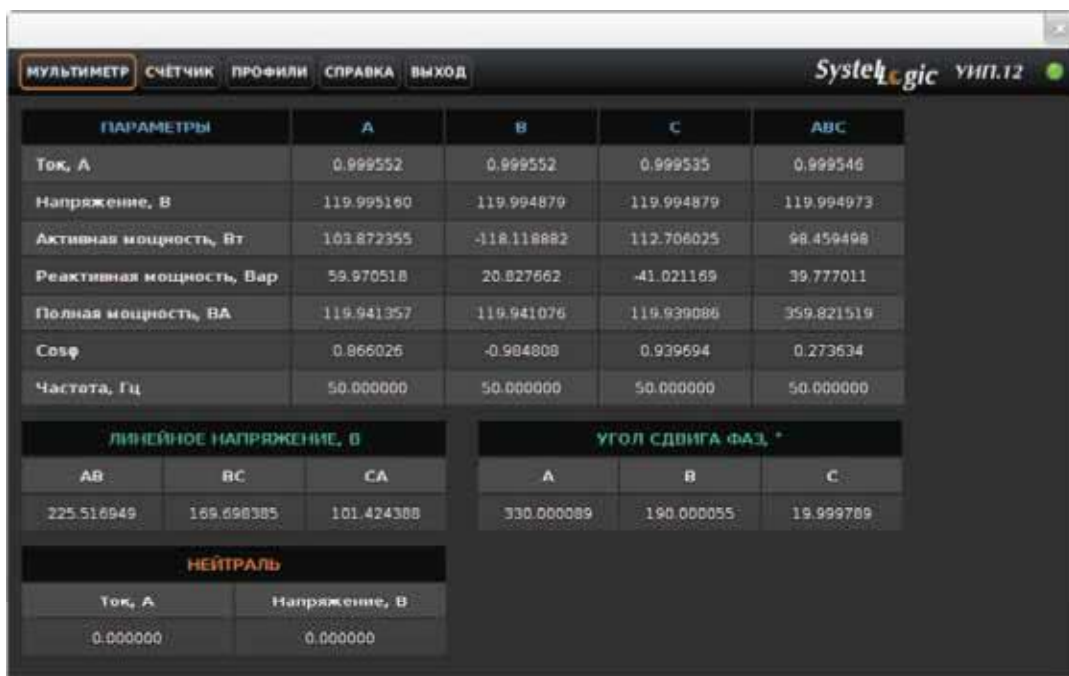


Рис. 4

2) **SysteLLLogic ПКЭ.12** - для измерения показателей качества электроэнергии и их сопоставления с нормативными значениями (в со-

ответствии с ГОСТ Р 54149-2010). К основным показателям КЭ относятся: частота, фликер, провалы напряжения и перенапряжения, прерывания напряжения, несимметрия напряжения, гармоники и интергармоники тока и напряжения и т.п.

Устройством осуществляется архивация результатов измерений на основных интервалах времени: 10/12 периодов, 150/ 180 периодов, 10 минут и 2 часа.

Конфигурация устройства и представление результатов обеспечивается человеко-машинным интерфейсом (рис. 5), предусматривающим несколько режимов представления данных:

- базовые показатели качества электроэнергии;
- гармоники и интергармоники;
- фликер;
- профили (основные показатели качества электроэнергии на заданном интервале).

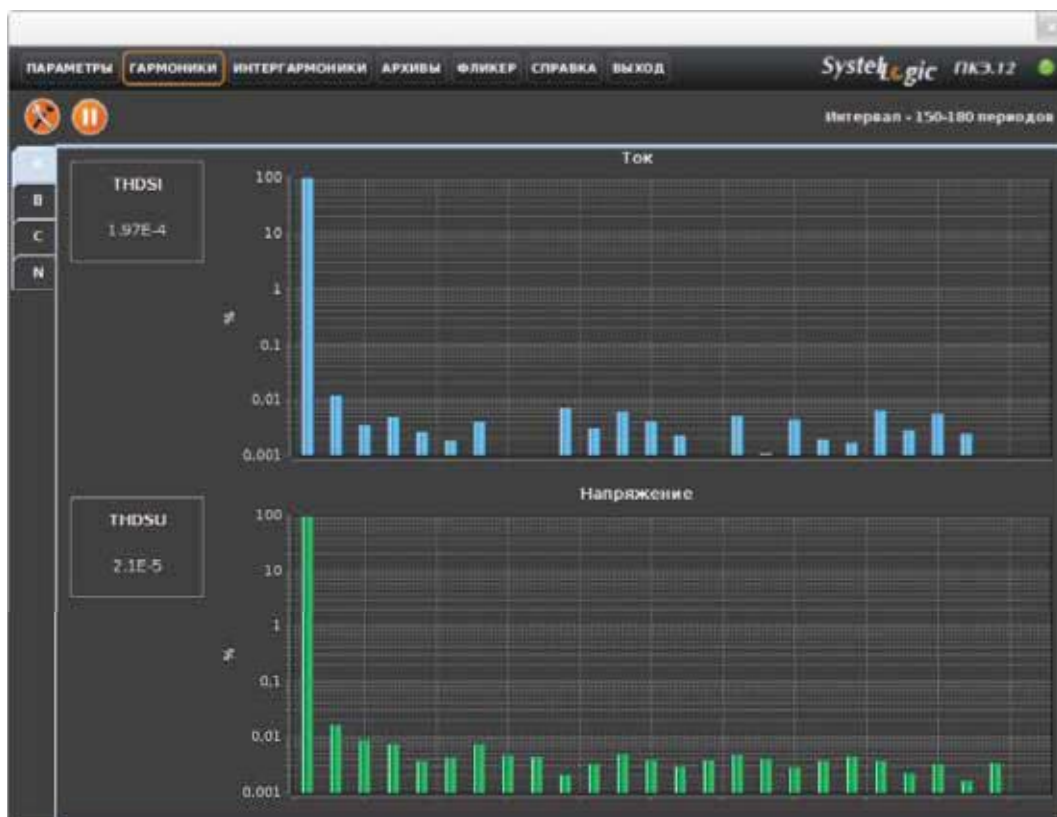


Рис. 5

3) **SysteLL logic PAC.11** - для регистрации и хранения осцилограмм стационарных и переходных процессов, предшествующих и сопутствующих аварийным режимам в электрических сетях. Обеспечивается регистрация:

- переходных/аварийных процессов по заданному набору уставок (превышение установленных максимальных значений тока и напряжения);

- текущих значений тока и напряжения.

ИЭУ SysteLLLogic PAC.11 обеспечивает одновременную регистрацию 4-х потоков мгновенных значений согласно IEC 61850-9-2LE, прием дискретных сигналов по протоколу IEC 61850-8-1 посредством GOOSE-сообщений.

Конфигурирование и визуализация данных, регистрируемых устройством, осуществляется с помощью человека-машинного интерфейса (рис. 6).

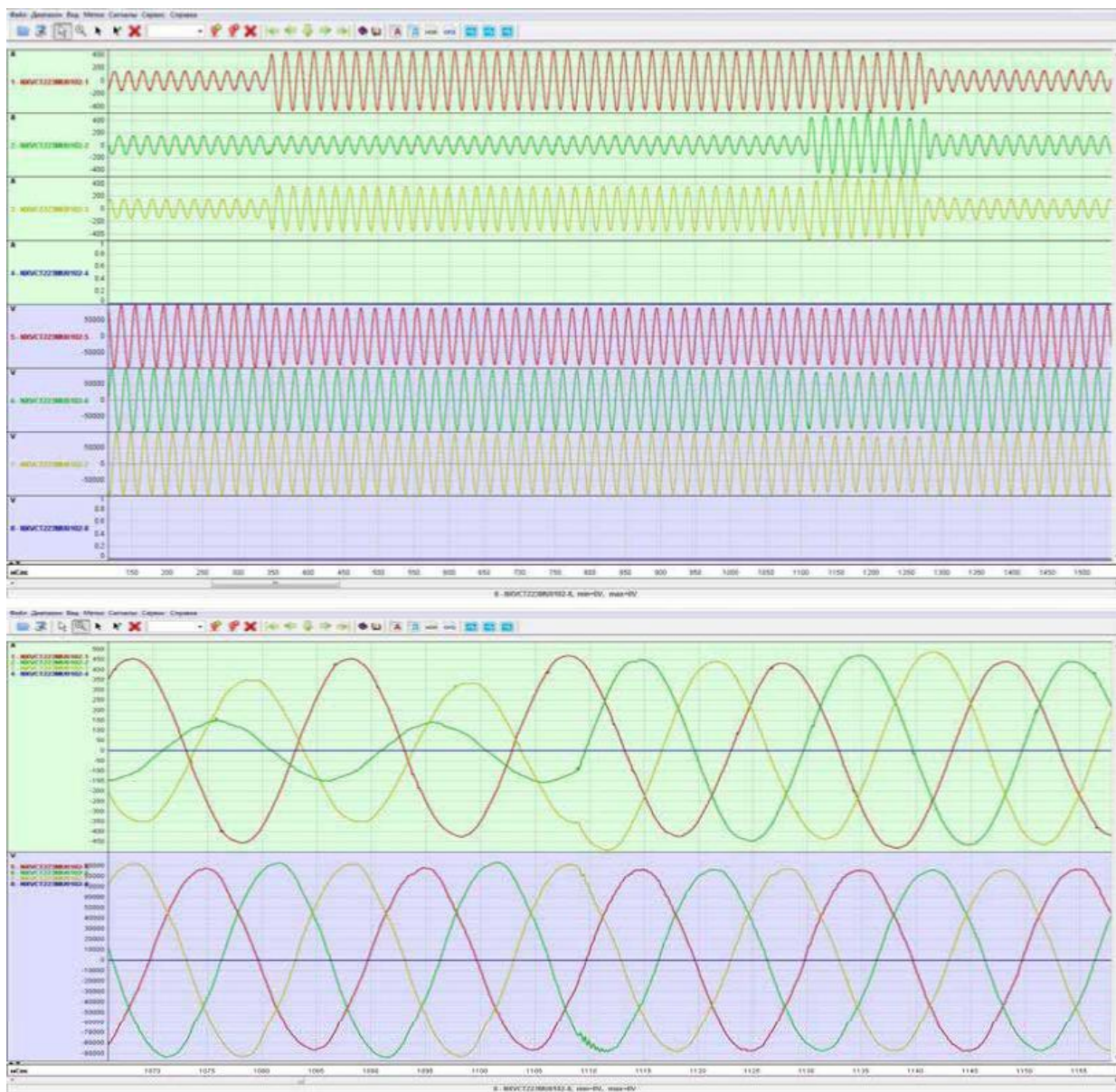


Рис. 6

Сервер ЦПС позволяет выполнять:

- информационный обмен с ИЭУ уровня присоединения по протоколу IEC 61850-8-1;
- ведение архивов текущих и аварийных событий;

- информационный обмен с устройствами, поддерживающими отличные от IEC 61850-8-1 протоколы;
- передачу данных на верхний уровень (ЦУС, РДУ и т.п.) по каналам связи с использованием протоколов МЭК 870-5-101/104;
- информационный обмен с АРМ станционного уровня;
- управление конфигурацией (в соответствии с IEC 61850-8-6).

Хранение оперативных данных в сервере ЦПС осуществляется с использованием объектной модели, соответствующей требованиям стандарта IEC 61850.

Сервер ЦПС, помимо поддержки протоколов стандарта IEC 61850 для сбора данных от ИЭУ поддерживает протокол IEC 870-5-104 для сбора данных от «традиционных» устройств, включенных в состав ЦИИК (устройство телемеханики МТК-30.КП, счетчики «Фотон» и «Протон-К»).

Сервер ЦПС обеспечивает хранение данных, получаемых от ИЭУ и перечисленных выше «традиционных» устройств, в том числе данных об аварийных срабатываниях релейных защит и связанных с ними осциллограмм.

Для взаимной интеграции «традиционных» и «цифровых» устройств и систем разработан преобразователь протоколов SysteLLogic ПП, выполняющий преобразование протокола IEC 61850-8-1 в протоколы IEC 60870-5-101, IEC 60870-5-103, IEC 870-5-104 и наоборот. С помощью такого преобразователя можно «включать» ИЭУ в «традиционные» АСУ ТП, а также интегрировать функционирующие устройства телемеханики, терминалы РЗА и приборы учета в «Цифровую подстанцию».

Анализ метрологических характеристик

Для проведения сравнительного анализа метрологических характеристик измерительного канала на базе NXVCT-230 в ЦИИК используются один основной цифровой и два дополнительных аналоговых измерительных канала, реализованные с использованием:

- ИЭУ SysteLLogic УИП.12, сопряженного с цифровым выходом преобразователя NXVCT-230 и принимающего данные по протоколу МЭК 61850-9-2LE;
- счетчика электрической энергии «Протон-К» (класс точности 0.2S), подключенного к аналоговым выходам преобразователя NXVCT-230;
- счетчика электрической энергии «Фотон» (класс точности 0.2S), подключенного к вторичным цепям измерительных ТТ и ТН (класс точности 0,5S).

Таким образом, измерения параметров сети (ток, напряжение, частота, активная и реактивная мощности и т.д.) для ВЛ 110 кВ «Сосновая -

Сравнение измерений

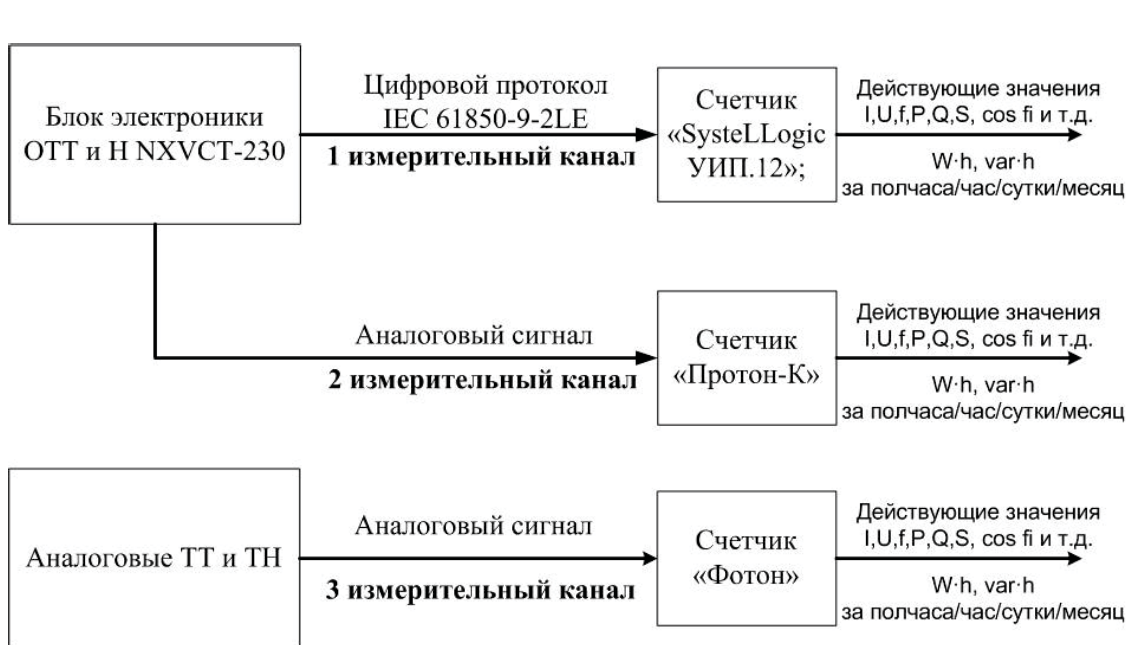


Рис. 7

Статистический анализ данных

На рис.8 представлены графики зависимости напряжения от времени по трем каналам за один зимний и один летний день, а на рис.9 - графики зависимости тока от времени по трем каналам (фазы А и В) за 3 и 4 августа 2013 г.

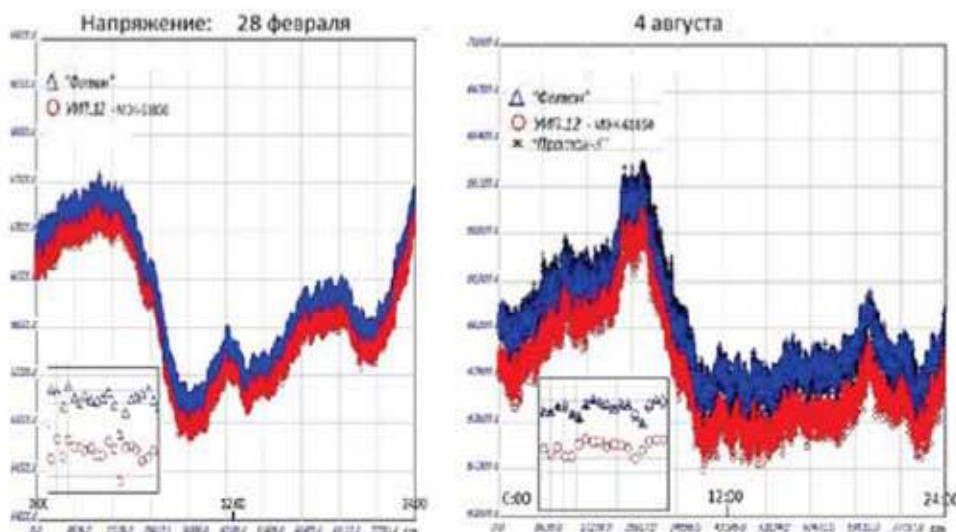


Рис. 8

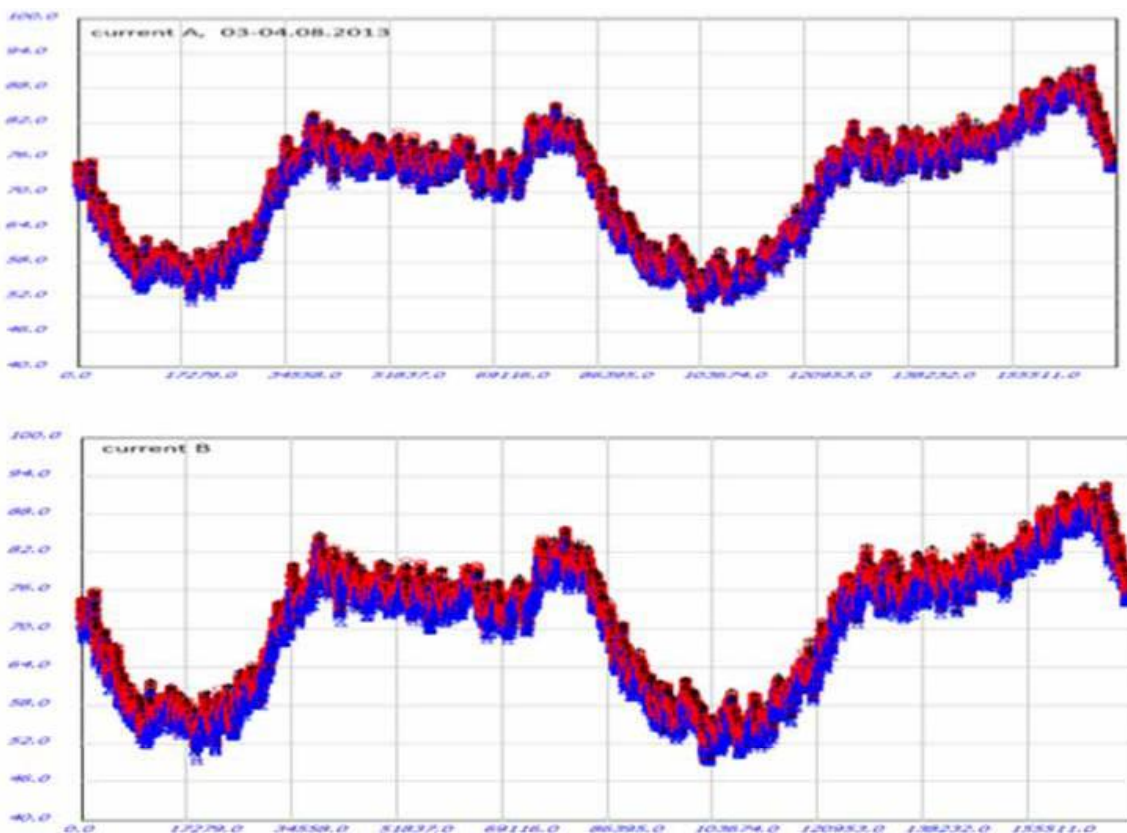


Рис. 9

Измерения параметров сети, проведенные по трем каналам, хорошо согласуются между собой с учетом класса точности приборов в широком динамическом диапазоне.

Отметим, что по данным счетчика «Протон-К» можно анализировать работу собственно высоковольтного оптического измерительного преобразователя тока и напряжения. Для сравнительного анализа метрологических характеристик измерительного канала на основе традиционных ТТ и ТН и измерительного канала на основе преобразователя NXVCT-230 использовались данные от счетчика «Фотон» и цифрового прибора SysteLLLogic УИП.12 за несколько дней проведения измерений, при этом даты (дни) выбирались произвольно.

Измерения выполнялись с интервалом в 10 секунд (данная величина является настраиваемой, минимальное значение 1 секунда). В результате дневная выборка содержит

$$N = 8640 \quad (1)$$

действующих значений.

Первичными (измеряемыми) сигналами являются:

- действующие значения токов (по трем фазам);
- действующие значения напряжения (по трем фазам);

- частота (по трем фазам).

Остальные параметры (мощность, напряжение между фазами, $\cos \phi$, ...) являются вычисляемыми.

Для сравнения использовались действующие значения параметров для каждой фазы (A, B, C): напряжение (U), ток (I), мощности: активная (P), реактивная (Q), полная (S), $\cos \phi$ и частота (f).

Для сравнения вычислялся коэффициент соответствия синхронно измеряемых параметров счетчиком «Фотон» и прибором SysteLLLogic УИП.

Например, для фазы A

$$r = \frac{V_{\Phi;A}}{V_{Y;A}} \quad (2)$$

где $V_{\Phi;A}$ и $V_{Y;A}$ - значения (напряжения, тока, ...) фазы A для счетчика «Фотон» и SysteLLLogic УИП. Аналогичные соотношения используются и для сравнения других параметров.

Для определения статистической значимости использовались «интегральные» характеристики: среднее отношения по выборке (сутки) и среднее квадратичное отклонение:

$$R = \frac{1}{N} \sum_{k=0}^{N-1} r_k; \quad \sigma_R = \sqrt{\left(\frac{1}{N} \sum_{k=0}^{N-1} r_k^2 \right) - R^2} \quad (3)$$

Заметим, что среднее квадратичное отклонение является статистической погрешностью.

Абсолютная погрешность интегрального отношения определяется статистической и систематической погрешностями:

$$\Delta R = \sqrt{\sigma_R^2 + (\Delta r)^2}; \quad \Delta r = R \cdot \delta r \quad (4)$$

где величины относительных систематических погрешностей для коэффициента соответствия (δr).

Ниже представлены относительные систематические погрешности для коэффициентов соответствия измеренных параметров (Φ – «Фотон», Y – SysteLLLogic УИП).

Коэффициент соответствия	U_Φ/U_Y	I_Φ/I_Y	P_Φ/P_Y	S_Φ/S_Y	$\cos \phi_\Phi/\cos \phi_Y$	f_Φ/f_Y
$\delta r (\%)$	0.574	0.735	0.608	0.608	0.860	0.10

На рис. 10 приведена зависимость коэффициента соответствия для различных параметров от времени (секунды с начала суток – 00:00). Характер поведения коэффициента соответствия для измерений, сделанных в различные дни, практически не меняется. Поэтому далее, как типовые, приведены графики коэффициента соответствия для измерений выполненных 4 августа.

Графики коэффициента соответствия, приведенные на рис. 10, относятся к фазе А, графики для фаз В и С имеют такой же вид. На рис. 11 показаны (для примера) графики коэффициентов соответствия тока и напряжения для всех трех фаз А, В, С.

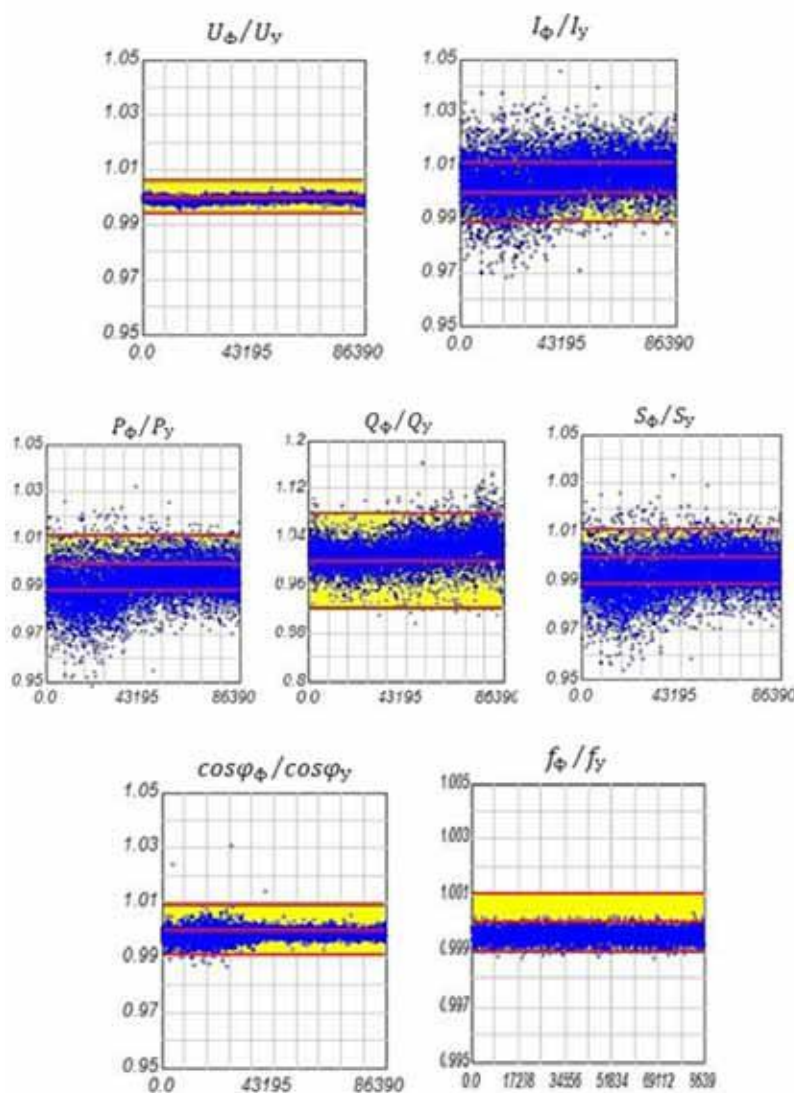


Рис. 10

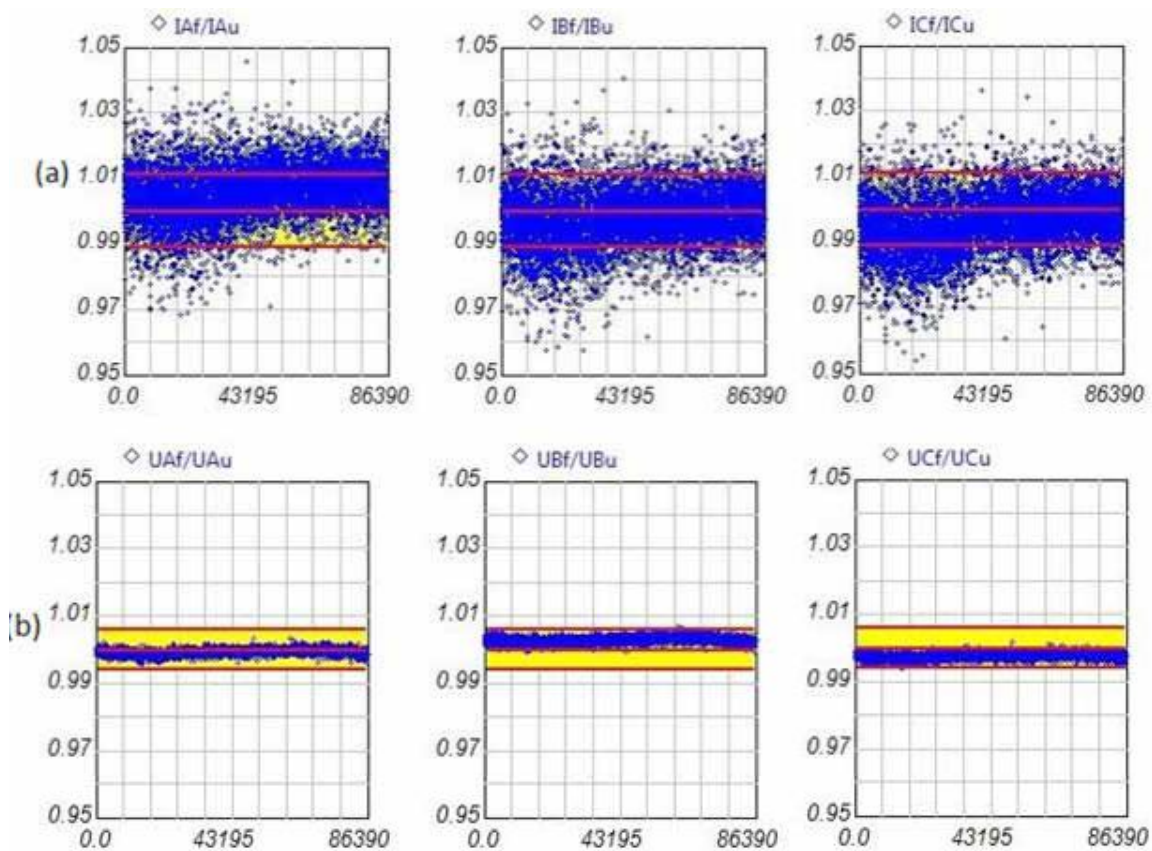


Рис. 11

Исходя из проведенного анализа экспериментальных данных, можно сделать вывод что коэффициенты соответствия различных параметров для фаз А, В, С на протяжении всего времени работы ЦИИК были стабильны и близки к единице.

Оценка статистической значимости

Для определения статистической значимости полученных результатов использовалась оценка методом χ^2

$$\chi^2_{exp} = \chi^2(N) = \sum_{k=0}^{N-1} \frac{(R_0 - R_k)^2}{(\Delta R)^2} \quad (5)$$

где R_0 – ожидаемое значение, ΔR – погрешность, вычисляемая по формуле (4).

Для оценки статистической значимости использовался критерий Пирсона. А именно, гипотеза

$$R_k = R_0 = 1 \quad (6)$$

принимается с вероятностью б, если выполняется неравенство:

$$\chi_{exp}^2 \leq \chi_{\alpha;N}^2 \quad (7)$$

Теоретические значения критерия $\chi_{\alpha;N}^2$ при $N = 8640$ (что соответствует одному измерению параметра с интервалом в 10 с) для различных значений вероятностей б равны:

$$N = 8640; \quad \chi_{\alpha;N}^2 = \begin{cases} 8336 \text{ при } \alpha = 0.999 = 99.9\% \\ 9050 \text{ при } \alpha = 0.01 = 1\% \end{cases}$$

Полученные значения коэффициента соответствия, статистические (ΔR_{stat}), систематические (ΔR_{syst}) и общие погрешности (ΔR) для измеренных величин приведены в нижеследующей таблице.

V	R = V_φ / V_y	ΔR_{stat}	ΔR_{syst}	ΔR	 1 - R 	χ_{exp}²
<i>U_A</i>	0.9994	0.00081	0.00574	0.00580	0.0006	259.9
<i>U_B</i>	1.0029	0.00085	0.00574	0.00581	0.00287	2283.4
<i>I_A</i>	1.0059	0.00809	0.00735	0.0109	0.00587	7053.1
<i>I_B</i>	0.9979	0.00843	0.00735	0.01118	0.00207	5285.1
<i>P_A</i>	1.00377	0.00867	0.00762	0.01154	0.00377	5711.3
<i>P_B</i>	1.00006	0.0089	0.00762	0.01178	0.00006	5046.5
<i>Q_A</i>	1.02778	0.0253	0.07637	0.08047	0.00278	1697.4
<i>Q_B</i>	1.01284	0.0258	0.0834	0.08732	0.00128	892.1
<i>S_A</i>	1.00526	0.00835	0.00762	0.01133	0.00526	6447.39
<i>S_B</i>	1.00079	0.00870	0.00762	0.01156	0.00079	4928.7
cos φ _A	0.99852	0.00243	0.00860	0.00894	0.00148	606.8
cos φ _B	0.99927	0.00202	0.00860	0.00884	0.00073	385.8
<i>f_A</i>	0.99955	0.00023	0.0010	0.00101	0.00045	2079.9
<i>f_B</i>	0.99955	0.00023	0.0010	0.00101	0.00045	2077.3

Из таблицы следует, что значения параметров сети, измеренные как традиционным способом, так и с помощью преобразователя NXVCT-230, совпадают с вероятностью не хуже 99.9%:

$$\chi_{exp}^2 < \chi_{0.999;8640}^2 \quad (8)$$

Результаты

Получен практический опыт реализации инновационных решений в части разработки ЦИИК для цифровой подстанции и его опытной эксплуатации на действующей подстанции в течение длительного времени, подтверждена стабильность функционирования комплекса.

Исследованы метрологические характеристики ЦИИК на большой статистической выборке, полученной в течение года непрерывной работы ЦИИК, в том числе в зимний и летний период. Показано что измерения основных параметров электрической сети, полученные с использованием преобразователя NXVCT-230 и традиционных измерительных средств, совпадают в пределах заявленных погрешностей.

Авторы выражают искреннюю благодарность сотрудникам ФГУП «РФЯЦ-ВНИИТФ им. академика Е.И. Забабахина» Ю.В. Румянцеву, А.В. Проскурину, В.В. Сергодееву, В.С. Краеву и С.Ю. Шепель, выполнивших большой объем организационных и экспериментальных работ.

Список литературы

1. «NXVCT. Преобразователь измерительный высоковольтный оптический напряжения и тока» - Руководство по установке, эксплуатации и техническому обслуживанию.
2. Рыкованов С.Н., Ухов В.И., Слабоспицкий С.Р., Ковцова И.О. Пилотный проект «Цифровая подстанция». // Журнал Релейщик. №1. 2014.

Сведения об авторах:

Рыкованов Сергей Николаевич,
ООО «Системы телемеханики», генеральный директор, к. т. н.

Ухов Владимир Иосифович,
ООО «Системы телемеханики», заместитель генерального директора, к. ф-м. н.

Мандрик Андрей Владимирович,
ООО «Системы телемеханики», ведущий инженер, к. т. н.

Слабоспицкий Сергей Ростиславович,
ООО «Системы телемеханики», ведущий специалист, д. ф.-м. н.

Ковцова Ирина Олеговна,
ООО «Системы телемеханики», инженер